

[9] Бережецкая Н.К., Большаков Е.Ф., Голубев С.К. - ЖЭТФ, 1984, т. 87, № 6, с. 1926-1931.

Куйбышевский авиационный
институт им. С.П. Королева

Поступило в Редакцию
6 мая 1988 г.

Письма в ЖТФ, том 14, вып. 21

12 ноября 1988 г.

О ВОЗМОЖНОСТИ УПРАВЛЯЕМОГО ЗАМЕДЛЕНИЯ СВЕТОВЫХ ИМПУЛЬСОВ В ВОЛОКОННЫХ СВЕТОВОДАХ

Г.Н. Бурлак, Н.Я. Коцаренко,
Ю.Н. Тараненко

Решение ряда задач обработки информации требует существенно-го замедления (до 4-5 порядков) световых импульсов. Для перекрытия столь значительного диапазона скоростей естественно использовать связь электромагнитной и акустической волн, характерные скорости которых отличаются на пять порядков. Однако ввиду слабости их взаимодействия эффект может быть заметен только при резонансном взаимодействии волн ($\omega_1 - \omega_2 = \Omega$, $k_1 - k_2 = K$, $b = \pm 1$, где ω_i , k_i и Ω , K - частоты и постоянные распространения света и звука соответственно).

В работах [1, 2] показано, что замедление световых импульсов до скоростей порядка звуковых может быть реализовано при попутном взаимодействии двух электромагнитных волн с акустической волной разностной частоты в режиме формирования трехволнивых акустооптических солитонов огибающих. При этом оказывается возможным несколько менять скорость замедленного оптического импульса путем изменения амплитуды волны накачки на границе системы.

Ниже показано, что диапазон доступных параметров и возможности существенного управления скоростью солитонов (вплоть до полной остановки и движения в обратном направлении) значительно расширяются при использовании нелинейного взаимодействия двух оптических мод со встречной акустической волной. Такая ситуация может быть реализована как в оптически анизотропных кристаллах, так и в волоконных световодах. В волоконных световодах такое взаимодействие может быть не только в многомодовом режиме, но и в более простом случае возбуждения двух основных мод эллиптического световода, где снимается вырождение по фазовым скоростям основных ортогонально поляризованных мод. Для этого необходимо, чтобы более быстрая мода имела более высокую частоту: $\omega_1 > \omega_2$, $k_{1,2} = \omega_{1,2} n_{1,2} / c$, $n_1 < n_2$, $n_{1,2}$ - эффективные показатели преломления оптических мод, $\Omega = [s(n_2 - n_1)/c] \omega_1 \ll \omega_{1,2}$.

Будем исходить из следующей системы уравнений для амплитуд волн:

$$\frac{\partial \tilde{E}_{1,2}}{\partial z} = \mp \beta_{1,2} E_{2,1} U, \quad \left(\frac{1}{s} \frac{\partial}{\partial t} - \frac{\partial}{\partial z} + \Gamma \right) U = \beta_3 E_1 E_2, \quad (1)$$

описывающей взаимодействие двух попутных электромагнитных волн с частотами $\omega_{1,2}$ со встречной акустической волной разностной частоты Ω . В (1) $\beta_1 = \alpha K k_1 G_1 / 2 n_1^2$, $\beta_3 = \alpha G_3 / 8 \pi \rho s^2$, α - фотоупругая постоянная, $G_i = |\tilde{G}_i|$ - фактор, определяемый поперечной структурой мод (интеграл перекрытия), Γ - коэффициент поглощения звука. С учетом медленности характерных скоростей импульсов ($V \ll C$) в уравнениях для $E_{1,2}$ временные производные опущены, $\beta_1 \approx \beta_2$.

Будем считать, что на торец световода попадает лазерная накачка на частоте ω_2 , что отвечает граничным условиям $E_2 = E_0 f(t)$, $E_1 = 0$ при $z = 0$ и $U(L) = 0$, где L - длина волоконного световода.

Нетрудно убедиться, что в пренебрежении затуханием звука ($\Gamma = 0$) решением (1) является

$$E_1 = E_0 \cdot f(t) \operatorname{sech} Q, \quad E_2 = E_0 f(t) \operatorname{th} Q, \quad (2)$$

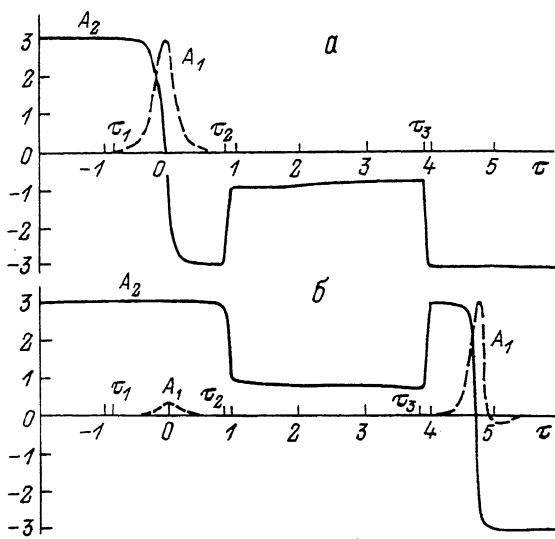
$$U = U_0 \operatorname{sech} Q, \quad Q = \beta_1 U_0 \cdot \left(z + st - \frac{\beta_3 s E_0^2}{\beta_1 U_0^2} \int f^2(t') dt' \right),$$

удовлетворяющее с экспоненциальной точностью граничным условиям. Скорость центра импульсов равна

$$V = s \left[\frac{\beta_3 E_0^2 f(t)}{\beta_1 U_0^2} - 1 \right]. \quad (3)$$

В зависимости от знака правой части выражения (3) (что определяется значением функции модуляции накачки $f(t)$) солитонные импульсы распространяются вперед или назад по системе с большей или меньшей скоростью. Тем самым в результате модуляции амплитуды E_2 возможно управление световым импульсом волны E_1 . Причем удержание солитонов в световоде ограничивается лишь временем их жизни, определяемым поглощением звука (поглощение электромагнитных волн в данном случае пренебрежимо мало).

Для выяснения динамики формирования и возможностей управления импульсами типа (2) нами были выполнены численные эксперименты по возбуждению солитонов путем непосредственного решения системы (1) с учетом поглощения $\Gamma \neq 0$. При этом длина световода предполагалась достаточно короткой $L = 45$ см, чтобы избежать конкуренции со стороны обратного ВРМБ. Конкретно были выбраны



Зависимость от времени значения огибающих электрических полей волн $A_{1,2}$: а - на входе световода $z = 0$; б - на выходе световода $z = L$.

следующие параметры: радиус световода $R = 10^{-3}$ см, $\kappa^2 = 3$, $\rho = 4.7$ г/см³, $\omega_{1,2} \approx 5 \cdot 10^{15}$ с⁻¹, $\Omega = 1.83 \cdot 10^9$ с⁻¹, $\alpha = 0.12$, $f = 2.54 \cdot 10^{-2}$ см⁻¹, $G_i \sim 1$, $s \approx 4 \cdot 10^5$ см/с.

Численно решалась система уравнений (1), приведенная к следующим безразмерным переменным: $A_{1,2} = \mathcal{E}_{1,2}/E_0$, $A_3 = \sqrt{\beta_1/\beta_3} \mathcal{U}/U_0$, $x = z/L_H$, $L_H = (\beta_1\beta_3 E_0^2)^{-1/2}$, $\tau = ts/L_H$. При $E_0 = 3.75 \cdot 10^4$ В/см, что соответствует мощности электромагнитной волны 26 Вт, пространственный и временной масштабы, отвечающие данной нелинейности, равны $L_H \sim 2.5$ см и $L_H/s \sim 25$ мкс.

Численный эксперимент состоял в демонстрации управления скоростью солитона, возбуждаемого двумя световыми волнами при помощи модуляции волны накачки на входе (см. рисунок). Заданием ненулевых граничных условий для волн $A_{1,2}(0, \tau)$ с перебросом фазы волны A_2 на π (подобно экспериментальному возбуждению солитонов при ВКР [3]) в системе был возбужден солитон с амплитудой звуковой волны $A_3 \sim 1$ (время $\tau_1 - \tau_2$), распространяющийся со скоростью $v \sim 8 \cdot 5$. Затем понижением входной амплитуды волны накачки A_2 до величины, определяемой из условия $v = 0$ в (3), солитон был остановлен и удерживался в течение $\tau_2 - \tau_3$. Удержанию солитона препятствует диссипация, которая ведет к затуханию амплитуды звуковой волны в солитоне по закону $U_0 \sim \exp(-2/st)$. На отрезке времени $\tau_2 - \tau_3$ мы подбирали $f(t)$ такой, чтобы тем не менее оказалось $v = 0$. В момент времени τ_3 амплитуда накачки повышается, вследствие чего солитон был выведен из системы в конец $z = L$. На рисунке, а показано значение полей $A_{1,2}$ на входе системы $z = 0$, а на рисунке, б

на ее выходе $z=L$. Видно, что в начальный момент на выход проходит примерно 1% вводимой мощности на частоте ω_1 , а основная часть появляется с задержкой в пять временных единиц, т.е. 125 мкс. Амплитуда и ширина выходного импульса волны A_1 , определяются (без учета запаздывания) значением амплитуды волны накачки A_2 в данный момент времени. Средняя скорость движения светового импульса частоты ω_1 составляет $2 \cdot 10^5$ скорости света в волокне. В результате реализуется понижение эффективной скорости распространения светового импульса почти на пять порядков.

Таким образом, в данной системе имеет место существенно более сильное замедление световых импульсов по сравнению, в частности, с эффектом самоиндущированной прозрачности, где имеет место понижение скорости примерно на три порядка [4]. Кроме того, при описанном выше трехволновом акустооптическом взаимодействии задержка и направление движения импульсов управляемы, что открывает перспективы создания новых акустооптических устройств.

Л и т е р а т у р а

- [1] Бурлак Г.Н., Гримальский В.В., Тараненко Ю.Н. - ЖТФ, 1986, т. 56, в. 2, с. 424-426.
- [2] Бурлак Г.Н., Гримальский В.В., Коцаренко Н.Я. - ЖЭТФ, 1986, т. 90, № 4, с. 1487-1492.
- [3] Druhl K., Wenzel R.G., Garlsten J.L. - Phys. Rev. Lett., 1983, v. 51, N 13, p. 1171-1174.
- [4] Gibbs H.M., Slusher R.E. - Phys. Rev. Lett., 1970, v. 24, p. 683-686.

Киевский государственный
университет им. Т.Г. Шевченко

Поступило в Редакцию
8 июня 1988 г.

Письма в ЖТФ, том 14, вып. 21 12 ноября 1988 г.

ИССЛЕДОВАНИЕ АКУСТОЭЛЕКТРОННОГО ЧАСТОТОМЕРА, ИСПОЛЬЗУЮЩЕГО ИНТЕРФЕРЕНЦИЮ ПОВЕРХНОСТНЫХ АКУСТИЧЕСКИХ ВОЛН

Н.И. Буриков, А.В. Решетко,
Л.Я. Серебренников

Известно, что нанесение на поверхность льеозоэлектрика тонких проводящих пленок, не влияющих на механические граничные условия, приводит к изменению скорости распространения поверхностных акустических волн (ПАВ) [1].